

論文 グラフィカルモデリングを用いた部品加工工程の要因分析*

Process Analysis of Parts Manufacturing using Graphical Modelling

入倉則夫 仁科 健 藤原 寛
Norio IRIKURA Ken NISHINA Hiroshi FUJIWARA

In this paper, the graphical modelling is applied to process analysis of a parts manufacturing. This production line is composed of some elementary processes which are connected in series. The obtained multivariate data for the analysis are characteristics of the product from each of the elementary processes. By means of the exploratory causal analysis between the variables using the graphical modelling, neck elementary processes for a final characteristic of the parts can be identified and a hypothesis on the mechanism which causes the variation of the final characteristic can be created. In addition, the application of the graphical modelling to process analysis is discussed from the comparison with an alternative application of the multiple regression analysis.

Key Words : Exploratory Causal Analysis, Identification of Neck Process, Creation of Hypothesis, Multiple Regression Analysis

1. はじめに

連結したいくつかの要素工程からなる工程の要因分析を想定してみよう。そのとき、任意の要素工程とその上流にある要素工程には原因→結果の連鎖関係があると考えられる。このような工程の要因分析には因果分析の解析アプローチが有効である。たとえば、パス解析、もしくは重回帰分析を順次に行うことにより因果分析に対応できる。その解析過程では変数選択や診断機能を用いモデルの修正が可能である。しかし、この場合、解析に先立ち事前情報から因果構造の初期モデルを設定しておくことが必要となる。因果構造そのものを探索したい場合、パス解析や重回帰分析は、候補となるいくつかの因果構造のパターンを網羅的に与えることを必要とし、事前情報がない因果構造をデータから探索的に解析していく因果分析（以後、探索的因果分析と呼ぶ）には不向きである。これに対して、探索的因果分析のニーズに応えうる手法としてグラフィカルモデリングがある。グラフィカルモデリングとは、多変量データの関連構造を表す統計モデルをグラフによって表現する方法である¹⁾。

本論文では、回転部品ブーリの回転バランス（以下、バランス）の要因分析にグラフィカルモデリングを用

いる。対象とする工程は直列に連なったいくつかの要素工程からなり、各要素工程の結果系データが取られている。本解析の目的は二つある。一つは総合品質特性であるバランスのばらつきの要因を作り込むネック工程の抽出であり、もう一つは変数間の構造探索を行うことにより、アンバランスの因果構造に関する仮説の抽出である。また、本解析を通じ重回帰分析を用いた場合との比較からグラフィカルモデリングの要因分析への適用について考察する。

2. 工程の概要とデータ

対象製品とした回転部品はFig. 1 に示すような要素工程を経て製造される。Fig. 1 の数字はデータを取った位置を示す。データは各要素工程の半製品である予備成形品（1）、成形品（2）、焼きならし（3）、ツバ抜げ品（4）、V溝成形・切削品（5）の特性である。

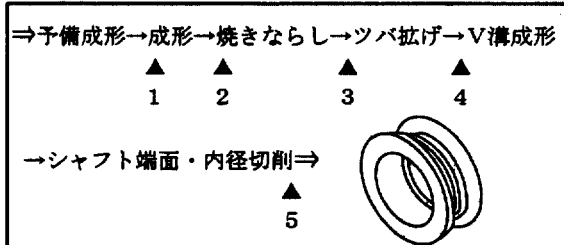


Fig. 1 Pulley manufacturing process

* (社)日本品質管理学会「品質」 Vol. 27, No. 4 P.160~169
より転載（原著筆頭者：仁科 健）

工程概要は次のとおりである。予備成形品(1)はプレス機で成形加工されて成形品(2)となる。成形品(2)は焼準炉における焼準により焼きならし品(3)となる。プレス機でツバを拡げられツバ拡げ品(4)となる。成形機によるV溝成形、NC施設による端面内径切削を経てV溝成形・切削品(5)となる。

データは各要素工程の結果特性であるが、バランス精度Y1とバランス精度方向Y2は本工程の総合的な管理特性である。データ数は40個であったが、フレ方向に関する測定値に2個の異常値があったのでそのサンプルを除いて38個とした。

各特性に変数名を付け、Table 1のように整理する。ここで事前情報である変数の時間的先行性を変数名A

Table 1 Variables

半製品 特性値	予備成形品 (1)	成形品 (2)	焼きならし品 (3)	ツバ拡げ品 (4)	V溝成形切削品 (5)
底厚	A1	A2	A3	A4	A5
内外径のフレ量	B1	B2	B3	B4	
シャフト内径V山たてフレ量					C5
内外径のフレ方向	-	D2	D3	D4	
シャフト内径V山たてフレ方向					E5
カップ深さ	F1	F2	F3		
拡げフランジ径				G4	
重量	H1				
総合特性	バランス精度 Y1	バランス精度方向 Y2			

(注) 底厚A、カップ深さF : 最大値と最小値の平均値。
 拡げフランジ径G4 : 最大値。
 内外径フレ量B : 内径を基準として高さ方向中央部における外形のフレ最大値。
 シャフト内径V山立てフレ量C5 : シャフト内径を基準として中央のV山のフレ最大値。
 内外径フレ方向D、シャフト内径V山立てフレ方向E5 : 予備成形品のフレ方向を基準としたフレ方向。

～Hの添え字で表現する。たとえば、底厚Aは各要素工程で測定され、それらは工程ごとの推移を示す。そこで、各要素工程の底厚を先行する工程から順にA1, ..., A5と表記する。このように要素工程ごとの推移を示す特性群を特性系列と呼ぶこととする。また、内外径フレ量Bと同フレ方向D、およびシャフト内径V山立てフレ量Cと同フレ方向Eは、それぞれ量と方向を表す対となる特性である。

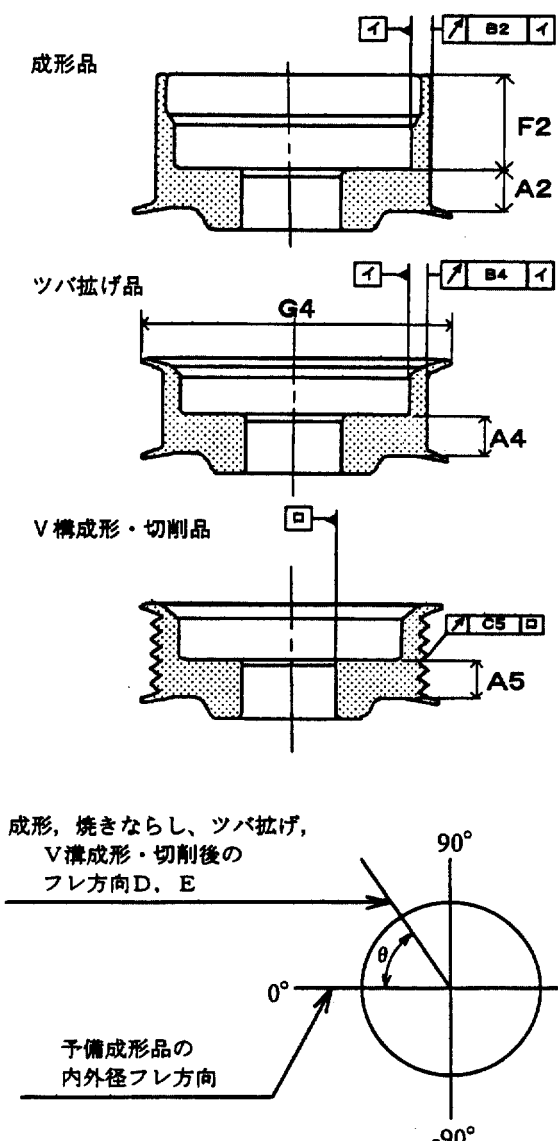


Fig. 2 Detail of variables

3. グラフィカルモデリングによる解析

3.1 解析の方針

Table 1 に示した 21 変数を一度に解析することは得策ではない。変数間の関連についての事前情報を考慮した解析が望ましい。ここでは解析手順を次のように考えた。

ステップ 1：予備成形工程から下流方向に各特性系列間の関連を把握する。

ステップ 2：総合特性のばらつきに寄与する特性系列と特性を絞り込む。

ステップ 3：ステップ 2 の結果を踏まえ総合特性（バランス精度 Y₁, バランス精度方向 Y₂）のばらつきを生むネック工程を抽出し、総合特性のばらつきを生むメカニズムを考慮する。

以下、このステップに従いグラフィカルモデリングによる解析結果を示す。なお、解析ソフトは芳賀の開発した CGM (Conversational Graphical Modelling)²⁾ を用い、解析手順は宮川¹⁾に準じた。

3.2 解析結果とその考察

1) ステップ 1

隣接する 2 つの要素工程を対象とし、上流工程を説明変数群、下流工程を目的変数群としたグラフィカル連鎖モデリング¹⁾を行った。Fig. 3 に解析結果を示す。Fig. 3 の破線部は説明変数群内の関連を独立グラフで示したものである。

本論文では、グラフィカルモデリングにおけるモデル選択の指標として、逸脱度 (deviance: 以下 dev と記す) とその χ^2 値を用いる。辺を除去した縮小モデルにおける相関行列を \hat{R} 、もとの標本相関行列を R 、サンプルサイズを n とするならば

$$\text{dev} = n \log (|\hat{R}| / |R|)$$

となる。縮小モデルが真のとき、dev は取り除いた辺の数を自由度にもつ χ^2 分布に近似できる。 χ^2 分布から dev の値に対応する χ^2 値を算出する。

本論文では、連鎖独立グラフの dev とその χ^2 値を示す。連鎖独立グラフの dev は、説明変数群の独立グラフの dev と説明変数群を完全グラフとした目的変数群を含めた独立グラフの dev の和となる³⁾。 χ^2 分布の再生性から自由度にも加法性が成立し、連鎖独立グラフの dev の χ^2 値を求めることが可能である。

Fig. 3 以降のそれぞれの連鎖独立グラフには、dev,

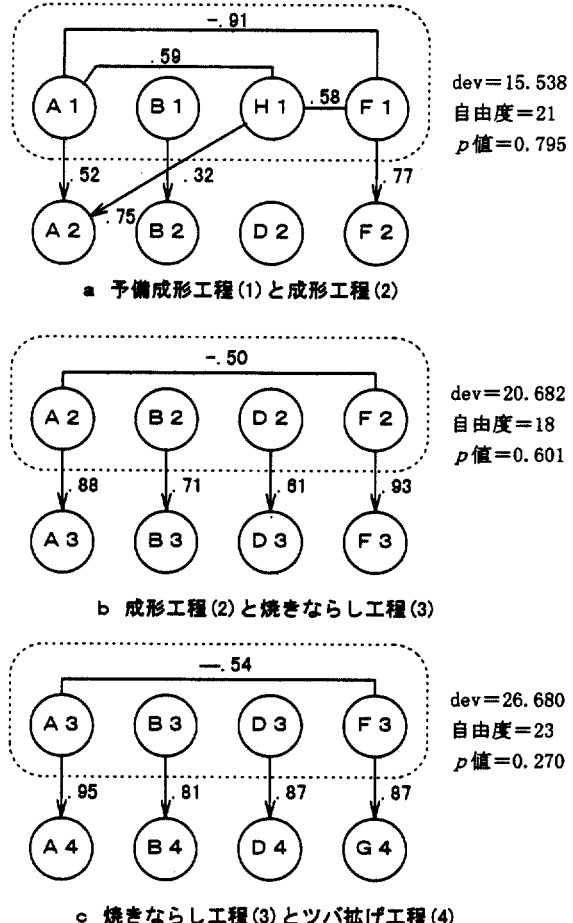


Fig. 3 Graphical modelling between variables (STEP 1)

自由度と χ^2 値を示す。

Fig. 3 から同一特性系列の変数間に強い正の偏相関が、また、F₃ と G₄ 間に強い正の偏相関係数が観察できる。また、底厚特性系列 A とカップ深さ特性系列 F 間には負の偏相関が観察できる。

以上の観察より、次のことが考察できる。

- ① 底厚特性系列 A とカップ深さ特性系列 F は予備成形品の段階で既に関連をもち、その関連が下流工程においても保持される。
- ② 関連をもつ底厚特性系列 A とカップ深さ特性系列 F の両特性系列を一つのグループ系列とすると、このグループ系列、内外径フレクション特性系列 B、および内外径フレクション特性系列 D は互いに関連をもたない独立な系列と考えてよい。
- ③ 拔げ法兰ジ径 G₄ はカップ深さ特性系列 F に含めてよい。ステップ 2 では、F₁, F₂, F₃, G₄ をカップ深さ特性系列 F とする。

①は予備成形工程の前工程である切断工程における

部品高さの制約から、②は部品加工時のセッティングには方向性がないことから、③はFig. 2に示したツバ抜け品の抜け角度の制約から技術的に説明できる。

2) ステップ2

ステップ1における特性系列間の構造解析の結果を踏まえ、ステップ2では総合特性であるバランス精度Y1とバランス精度方向Y2に対する要因を絞り込む。バランス精度Y1、バランス精度方向Y2を目的変数群とし、底厚特性系列A、内外径フレ量特性系列B、内外径フレ方向特性系列D、およびカップ深さ特性系列Fの各系列の「最終」特性（それぞれ底厚A5、内外径フレ量B4、内外径フレ方向D4、抜けフランジ径G4）と、シヤフト内径V山たてフレ量C5（以後Vフレ量とする）、シャフト内径V山たてフレ方向E5（以後Vフレ方向とする）、重量H1を説明変数群として、グラフィカル連鎖モデリングによる解析を行う。説明変数群に各特性系列の最終特性を取り上げたのは、要因の系列として特性系列の絞り込みを意図するものである。

まず、説明変数群のみを対象とし解析を行う。解析結果の独立グラフをFig. 4破線内に示す。次に、目的変数群（Y1, Y2）を加えて解析を行う。解析結果の連鎖独立グラフをFig. 4示す。

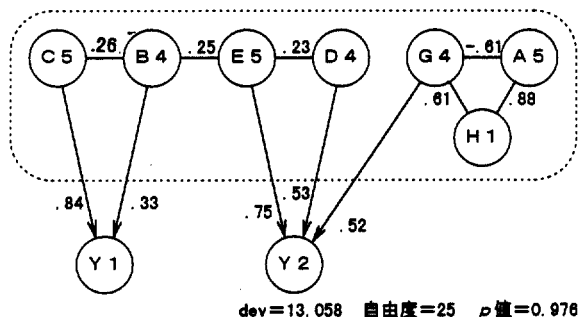


Fig. 4 Graphical modelling between final characteristics and variables (STEP 2)

Fig. 4の観察から次のことが考察できる。

- ① バランス精度Y1のばらつきに影響を与える要因はVフレ量C5と内外径フレ量系列Bであり、特にC5の影響が強い。
- ② バランス精度方向Y2のばらつきに影響を与える要因はVフレ方向E5、内外径フレ方向系列D、カップ深さ系列F（抜けフランジ径G4）であり、特にE5, D4の影響が強い。
- ③ バランス精度Y1とバランス精度方向Y2に共通して影響する変数はない。したがって、バランス精

度Y1とバランス精度方向Y2は単独に解析してよい。

②においてバランス精度方向Y2の要因として、カップ深さ系列Fが上がっている。方向性データであるバランス精度方向の要因として、方向性データではないカップ深さ系列Fが上がっていることは技術的に説明しづらい。また、偏相関係数が-0.26とそれほど大きくない。したがって、カップ深さ特性系列Fはバランス精度方向Y2の要因として取り上げないこととする。ただし、②は抜けフランジ径—カップ深さの特性系列に関して方向性データを取った上で検討が必要なことを示唆している。

要因系をかなり絞り込んだので、バランス精度Y1、バランス精度方向Y2への寄与率を確認しておく。すなわち、バランス精度Y1を目的変数にVフレ量C5と内外径フレ量B4を説明変数にとり、また、バランス精度方向Y2を目的変数にVフレ方向E5と内外径フレ方向D4を説明変数にとり、重回帰分析を行い

$$y_1 = 0.188 b_4 + 0.790 c_5 \quad (r^2 = 0.819)$$

$$y_2 = 0.372 d_4 + 0.657 e_5 \quad (r^2 = 0.690)$$

を得た。ここで、y1, y2, b4, c5, d4, e5は、それぞれY1, Y2, B4, C5, D4, E5を基準化した変数を表す。以後、重回帰式における変数は基準化したものであり、それらを英文字の小文字で表現する。フレ量特性系列B、Vフレ量C5とフレ方向特性系列D、Vフレ方向E5を要因とすることにより、Y1, Y2の変動の82%, 69%をそれぞれ説明することが確認できる。

ステップ1の解析結果から、要因として絞り込んだ内外径フレ量系列B、内外径フレ方向系列Dはとともに、他の特性系列と関連がないと考えてよい。したがって、以後の解析では、バランス精度Y1に関しては、内外径フレ量特性系列(B1, B2, B3, B4)とVフレ量C5を、バランス精度方向Y2に関しては、内外径フレ方向特性系列(D2, D3, D4)とVフレ方向E5を要因として絞り込むことにする。

この解析段階において、要因系として内外径フレのみに着目したアンバランスとの因果モデルを想定するならば⁶、内外径フレがアンバランスの原因であるとするメカニズムとして仮説I (Fig. 6aに示す) が考えられる。

注：次のステップ3では、要因系として内外径フレのみに着目した考察と、さらにVフレを要因系に加えた考察とに分けて論している。前者の考察とのつながりから、ここでは要因系として内外径フレのみに着目した仮説を記述する。

3) ステップ3

ステップ1, 2の結果から絞り込んだ特性系列と特性を要因として、総合特性であるバランス精度 Y_1 、バランス精度方向 Y_2 の変動を生むメカニズムを探索する。グラフィカルモデリングを行うにあたり、次の手順をとる。工程の上流から下流に向かって特性系列の特性を1つずつ順次取り込み、連鎖グラフィカルモデリングを繰り返す。Fig. 5a, b にそれぞれバランス精度とバランス精度方向に関する連鎖独立グラフを示す。

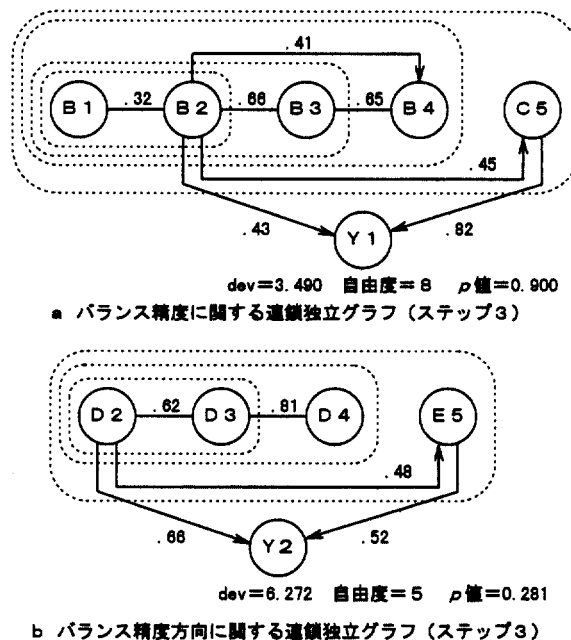


Fig. 5 Graphical modelling of final characteristics (STEP 3)

Fig. 5 から以下のことが観察できる。

- ① B1 から Y_1 への辺はなく、B1 と B2 との偏相関係数の値は大きくない。
- ② フレ量特性系列では B2 から Y_1 への、フレ方向特性系列では D2 から Y_2 への辺が存在する。
- ③ B4 から Y_1 への、D4 から Y_2 への辺は存在しない。
- ④ C5 から Y_1 への、E5 から Y_2 への辺が存在する。
- ⑤ B2 から Vフレ量 C5 への、D2 から Vフレ方向 E5 への辺が存在する。
- ⑥ B4 から C5 への、D4 から E5 への辺は存在しない。

以上の観察を要因系として内外径フレのみを対象とした観察①、②と観察③、次に、Vフレを加えた観察④、⑤、⑥に分けて順次考察し、各考察段階においてアンバランスを作り込むメカニズムに関する仮説を示す。

まず、要因系として内外径フレのみを対象とした因果モデルを考察してみよう。観察①と②から予備成形がバランスに与える影響は小さく、成形工程がネック工程であることが考察できる。ここで(B2, B3, B4)と(D2, D3, D4)がそれぞれ同一特性系列であることから、B2 および D2 の影響が後工程まで残っているという解釈をするならば、内外径フレとバランスに関する因果モデルを、「内外径フレの原因が成形工程に存在し、内外径フレがアンバランスの原因となる」とする仮説II (Fig. 6b に示す) に修正する。

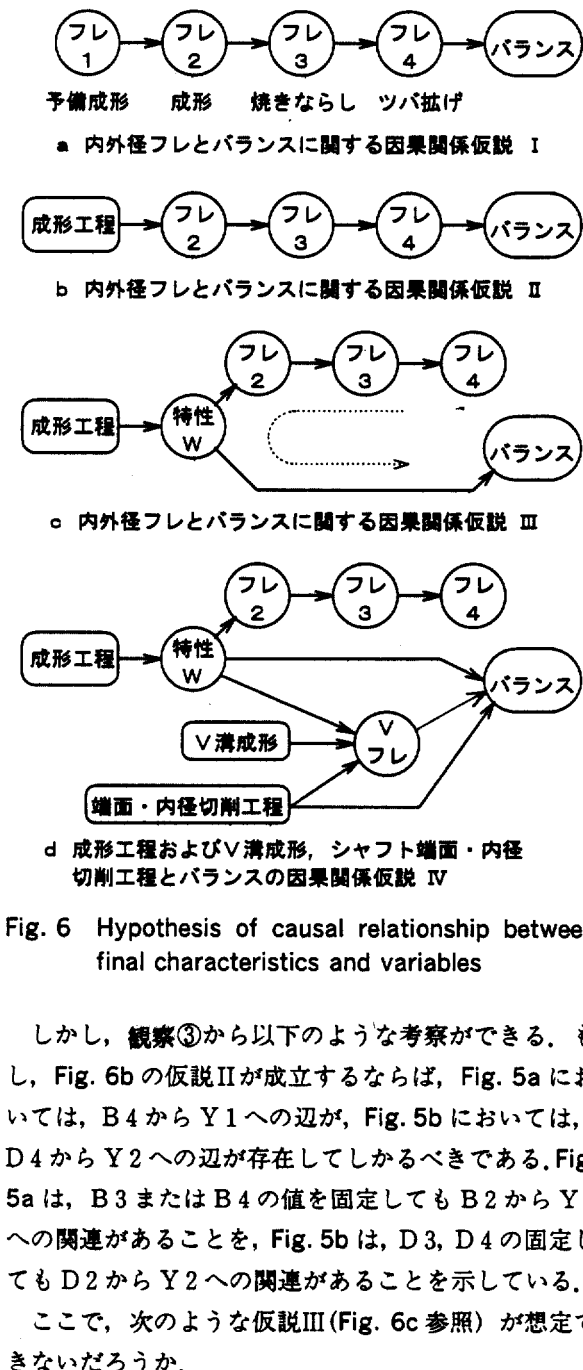


Fig. 6 Hypothesis of causal relationship between final characteristics and variables

しかし、観察③から以下のような考察ができる。もし、Fig. 6b の仮説IIが成立するならば、Fig. 5aにおいては、B4 から Y_1 への辺が、Fig. 5b においては、D4 から Y_2 への辺が存在してしかるべきである。Fig. 5a は、B3 または B4 の値を固定しても B2 から Y_1 への関連があることを、Fig. 5b は、D3, D4 の固定しても D2 から Y_2 への関連があることを示している。

ここで、次のような仮説III (Fig. 6c 参照) が想定できなだろうか。

仮説IIIは以下のように説明できる。成形工程が内外径フレとバランスの共通原因である特性 W を作り込んでいる。したがって、内外径フレとバランス間は特性 W を介して相関をもつ。

仮説IIIを相関関係行列から説明してみよう。以下に、バランス精度 Y_1 およびバランス精度方向 Y_2 に関連する変数の相関関係行列(それぞれ R_1, R_2 とする)を示す。

$$R_1 = \begin{pmatrix} B_1 & B_2 & B_3 & B_4 & C_5 & Y_1 \\ 1.000 & 0.324 & 0.237 & 0.334 & 0.294 & 0.287 \\ 0.324 & 1.000 & 0.683 & 0.737 & 0.606 & 0.732 \\ 0.237 & 0.683 & 1.000 & 0.824 & 0.427 & 0.517 \\ 0.334 & 0.737 & 0.824 & 1.000 & 0.541 & 0.615 \\ 0.294 & 0.606 & 0.427 & 0.541 & 1.000 & 0.891 \\ 0.287 & 0.732 & 0.517 & 0.615 & 0.891 & 1.000 \end{pmatrix}$$

$$R_2 = \begin{pmatrix} D_2 & D_3 & D_4 & E_5 & Y_2 \\ 1.000 & 0.619 & 0.600 & 0.571 & 0.843 \\ 0.619 & 1.000 & 0.868 & 0.357 & 0.611 \\ 0.600 & 0.868 & 1.000 & 0.243 & 0.532 \\ 0.571 & 0.357 & 0.234 & 1.000 & 0.748 \\ 0.843 & 0.611 & 0.532 & 0.748 & 1.000 \end{pmatrix}$$

R_1, R_2 からわかるように、内外径フレ量特性系列の各変数とバランス精度 Y_1 との各相関係数は

$$\gamma_{B2,Y1} > \gamma_{B4,Y1} > \gamma_{B3,Y1}$$

であり、内外径フレ方向特性系列の各変数とバランス精度方向 Y_2 との相関関数は

$$\gamma_{D2,Y2} > \gamma_{D3,Y2} > \gamma_{D4,Y2}$$

である。しかし、もし仮説IIが成立するならば、すなわち、成形工程に存在するバランスへの根本原因が内外径フレ特性を介してバランスに効いているとするならば

$$\gamma_{B4,Y1} > \gamma_{B3,Y1} > \gamma_{B2,Y1}$$

$$\gamma_{D4,Y2} > \gamma_{D3,Y2} > \gamma_{D2,Y2}$$

が成立して然るべきである。しかし、 R_1, R_2 はそれを示していない。仮説IIの成立は疑わしい。

これに対して仮説IIIのもとでは、内外径フレ3とバランスの相関は、内外径フレ2→特性 W を介しているため、内外径フレ2とバランスとの相関より小さくなる。内外径フレ4とバランスとの相関は、内外径フレ3→内外径フレ2→特性 W を介しているため、さらに小さくなる。すなわち、仮説IIIのもとでは

$$\gamma_{B4,Y1} < \gamma_{B3,Y1} < \gamma_{B2,Y1} \quad (1)$$

$$\gamma_{D2,Y2} < \gamma_{D3,Y2} < \gamma_{D2,Y2}$$

が成立する。

相関関係行列 R_1, R_2 からにおける $\gamma_{B4,Y1}$ と $\gamma_{B3,Y1}$ の関係を除いて(1)式の成立を観察することができる。 R_1 は仮説IIIを全面的に説明しているわけではない。しかし、 R_1 と R_2 を総合的にみるならば仮説IIIを否定できないと考える。

次に、V フレに関連する因果モデルを加えて考察してみよう。観察④から V 溝成形工程もしくは端面・内径切削工程がもう一つのネック工程であることが考察できる(3・3 節の技術的説明では、端面・内径切削工程をもう一つのネック工程と考えている)。すなわち、特性 W に加えて V フレがアンバランスの原因であることが考えられる。

観察⑤と観察⑥から成形工程、内外径フレと V フレの因果関係が考察できる。この因果関係は、観察②と③から考察した成形工程、内外径フレとバランスの因果関係と同様な関係が考えられる。すなわち、V フレの直接の原因は内外径フレではなく、特性 W が V フレの原因の一つを作り込んでいることが考察できる。また、相関関係行列 R_1 と R_2 から V フレと内外径フレの相関係数はバランスと内外径フレのそれと同様なパターンを示していることが観察できる。これらのことから特性 W がバランスと V フレの共通原因であることが考えられる。したがって、仮説IIIに V フレを加えた因果関係として仮説 VI (Fig. 6d) が抽出される。

3.3 抽出された仮説の技術的説明

仮説IVによるアンバランスの発生メカニズムを技術的に説明してみよう。特性 W として偏肉が考えられる。成形工程における金型が原因となり、成形品に偏肉が生じる。Table 1 の注に示したように、内外径フレは内径を基準とした外径のフレ最大値である。したがって、成形時の発生した偏肉が成形品の内外径フレ B_2 を生む。ただし、その測定位置は Fig. 2 に示した部品図の高さ方向の中心であること、およびフレの最大値であることに注意すべきである。焼きならし工程で成形品が塑性加工されることにより、成形時に発生した偏肉にずれが生じる。このとき高さ方向へのずれが大きいことが考えられる。したがって、高さ方向の中心を測定位置とした焼きならし後の内外径フレ B_3 , ツバ抜け加工後の内外径フレ B_4 はバランス精度の直接原因にはならない。しかし、偏肉発生時の内外径フレである B_2 はバランス精度の直接原因となる。

また、高さ方向にずれた偏肉は V 溝成形により、高

さ方向に平均化される。したがって、バランス精度と同様に高さ方向の中心を測定位置とした焼きならし後の内外径フレ B 3, ツバ抜け加工後の内外径フレ B 4 は V フレの直接原因にはならない。成形時の内外径フレ B 2 が V フレの直接原因となる。

Table 1 の注にあるように、V フレ、V フレ方向はシャフト内径を基準としたフレ最大値とその方向である。したがって、V フレ、V フレ方向はシャフト端面・内径切削加工におけるチャッキング時の心ずれを含む可能性がある。この心ずれがバランス精度の原因の一つとなる。バランス精度の単位は gcm である。アンバランスの質量の原因は偏肉にあり、心ずれの大きさの原因はシャフト端面・内径切削加工時のずれであることが予想される。

仮説IVの下で、以上のような技術的シナリオが想定できる。

3.4 本解析の結論

本解析の結論を以下にまとめる。

- ① アンバランスのネック工程として成形工程、およびシャフト端面・内径切削工程があげられる。
- ② アンバランス発生のメカニズムに関する仮説を抽出し、それに技術的解釈を加えた。

4. グラフィカルモデリングの適用に関する考察

要因分析の代表的なツールとして重回帰分析が上げられる。ここでは、本事例研究の解析ツールとして重回帰分析を用いることを想定し、第 3 章の解析過程との比較からグラフィカルモデリングの特徴を議論する。

第 1 章で「重回帰分析は、候補となるいくつかの因果構造のパターンを網羅的に与えることを必要とし、事前情報がない因果構造をデータから探索的に解析していく因果分析には向きである」と述べた。このことを本解析結果の Fig. 3, Fig. 4 をもとに説明しよう。Fig. 3, Fig. 4 に示すように、グラフィカルモデリングは説明変数群内の関連、目的変数群内の関連、および変数群間の関連を探索的に解析に対応できる。

これに対して重回帰分析は想定するモデルが逐次モデルである場合には対応できる（たとえば、椿⁴⁾）、しかし、重回帰分析では、Fig. 3, Fig. 4 に示したグラフィカルモデルによる変数群内の無向グラフがもつ情報（重回帰分析では説明変数間の構造）をモデルとして抽出できない。たとえば、ステップ 1 の解析から得た特性系列間の構造は変数群内の構造分析によるところが大

きい。また、変数群間の関連解析では、網羅すべき線形モデルが著しく多くなり、重回帰分析での対応は手間がかかる。

もしバランス精度の要因が内外径フレ特性系列 B、V フレ量 C 5 に絞り込まれ、バランス精度方向が内外径フレ方向特性系列 D と V フレ方向 E 5 に絞り込まれていたとしよう。すなわち、ステップ 2 までの解析結果が事前情報としてあったとしよう。このとき、Fig. 5 に示した因果構造を網羅的に与えたならば、そのモデルは逐次モデルであるので重回帰分析を用いても対応が可能である。以下に重回帰分析の変数選択後の解析結果を示す。

Fig. 5a に関して：

$$\begin{aligned} b_2 &= 0.324 b_1 \\ b_3 &= 0.683 b_2 \\ b_4 &= 0.601 b_3 + 0.327 b_2 \quad (r^2 = 0.736) \\ c_5 &= 0.606 b_2 \\ y_1 &= 0.707 c_5 + 0.304 b_2 \quad (r^2 = 0.853) \end{aligned} \quad (2)$$

Fig. 5b に関して：

$$\begin{aligned} d_3 &= 0.619 d_2 \\ d_4 &= 0.868 d_3 \\ e_5 &= 0.571 d_2 \\ y_2 &= 0.395 e_5 + 0.143 d_3 + 0.529 d_2 \quad (r^2 = 0.829) \end{aligned} \quad (3)$$

(3)式において D 3 が取り込まれている。Fig. 5b と整合していないが、この点を除いて重回帰分析により Fig. 5 を再現できる ((3)式の d 3 に関しては、F 値が 2.495 であり微妙なところである)。

ここで、逐次モデルを仮定しないで目的変数が Y 1 と Y 2 であることのみに着目し、残りの 19 変数を説明変数とし、盲目的に重回帰分析を行ったとしよう。変数選択の結果、同様に(2)式と(3)式の結果を得る。しかし、(2)式と(3)式のみからネック工程を成形工程、および端面・内径切削工程とみなすことが、また、Fig. 6c, d に示した仮説 III, IV を抽出することができるであろうか。ネック工程の同定結果を技術的に解釈するためには説明変数間の構造解析が不可欠である。説明変数間の構造解析があって初めて新たな仮説の抽出も可能となる。特に、本事例では顕在化していなかった特性 W の抽出に着目したい。特性 W は要因間の探索的な構造分析から抽出できたものである。また、このような解析過程において解析結果のグラフ表示は解釈の助けとなる。探索的因果分析であるグラフィカルモデリングの特長がここにある。

以上の議論から重回帰分析と比較したグラフィカルモデリングの優位性は「説明変数群、目的変数群が想定できるとき、各変数群内、変数群間の関連を探索的に解析することができ、かつ、解析結果をグラフ表現できる」ことである。ただし、前述したように、逐次モデルが仮定できるとき、各モデルを網羅的に取り上げ重回帰分析での対応も可能である。また、重回帰分析のソフトには種々の回帰診断機能が付いている。モデルの寄与率を上げるための解析などは重回帰分析が得意とするところである。

グラフィカルモデリングを工程解析に適用する場合の留意点として、変数のグルーピングが上げられる。本解析では変数群を要素工程に対応させた。変数のグルーピングには技術的な事前情報が必要であることはいうまでもない。工程の流れを事前情報とした変数のグルーピングが重要である。

5. おわりに

要因分析における従来の目的は、仮説の質的（確信の度合い）あるいは量的（要因の数）な程度に応じて、「事前にもつ知見の確証」「要因の絞り込み」「新たな要因の抽出」に分類することができる。この分類に要因間の探索的な構造分析である「因果構造仮説の構築」を加えたい。これは、椿⁴⁾の言う「科学的立場のデータ解析」を指向したものである。したがって、本論文では探索的因果分析の手法であるグラフィカルモデリングを用いることにより、Fig. 6 の仮説III、仮説IVが抽出できた過程を強調したい。

品質管理分野では、重回帰分析を中心とした工程解析に関する貴重な財産がある。これに、グラフィカルモデリングを中心とした探索的因果分析を組み込むことにより、より強力なツールになると考える。

謝 辞

品質管理学会テクノメトリックス研究会からデータ解析に関する貴重なご意見をいただいた。同研究会主査宮川雅己先生からは、原稿の草案段階で多くのコメントをいただいた。解析ソフトは同研究会委員芳賀敏郎先生作成のCGMを利用させていただいた。当学会中部支部幹事若手研修会においても、アンバランスの発生メカニズムに関する貴重なご意見をいただいた。また、文献⁵⁾は本研究の端緒となった。関係諸氏に感謝申し上げる次第である。

〈参考文献〉

- 1) 宮川雅己：グラフィカルモデリング、朝倉書店 (1997).
- 2) 芳賀敏郎：“CGM プログラム”，日本品質管理学会 第60回シンポジウム講演要旨集上p.19～24 (1996).
- 3) Whittaker, J.: Graphical Models in Applied Multivariate Statistics, JOHN WILEY & SONS (1990).
- 4) 椿 広計：“回帰分析から因果分析へ”，標準化と品質管理上 47 p.111～116 (1994).
- 5) 高木友司：名古屋工業大学生産システム工学科経営工学コース平成5年度卒業論文 (1993).

〈著 書〉

入倉 則夫 (いりくら のりお)



電機製造 2 部

電装品生産技術、工場管理に従事。

仁科 健 (にしな けん)



名古屋工業大学工学部生産システム工学科助教授。

統計的品質管理、感性の計量化の研究に従事。

藤原 寛 (ふじわら ひろし)



名古屋工業大学大学院工学研究科生産システム工学専攻（現 松下電工(株)生産技術研究所 CIE センター）。